Тензорезисторные преобразователи на основе гетероэпитаксиальных структур «кремний на сапфире»

Канд. физ.-мат. наук В. М. СТУЧЕБНИКОВ

Тензорезистивный принцип преобразования широко используется в датчиках разнообразных механических величин благодаря высокой точности и относительной простоте конструкции приборов, реализующих этот принцип. Открытие и всестороннее исследование тензорезистивного эффекта в полупроводниковых материалах, в первую очередь кремнии, положили начало созданию нового типа датчиков тензорезисторных полупроводниковыми чувствительными элементами С высокой характеризующимися чувствительностью, надежностью, габаритами малыми высокопроизводительной технологией изготовления. Появившись в начале 60-х годов, полупроводниковые тензорезисторные датчики в своем развитии прошли ряд этапов от использования наклеиваемых кремниевых тензорезисторов [1, 2] до интегральных ПЧЭ с диффузионными тензорезисторами и выполненными в них схемами преобразования сигнала и компенсации погрешностей датчика [3].

Метрологические характеристики тензорезисторного датчика определяются главным образом параметрами его основной части - тензопреобразователя (ТП), осуществляющего преобразование измеряемой механической величины в выходной электрический сигнал. Существенными недостатками полупроводниковых тензопреобразователей являются сильная и нелинейная температурная зависимость таких характеристик ПЧЭ, как тензочувствительность и сопротивление тензорезисторов, и нелинейность функции преобразования деформации в относительное изменение сопротивления тензорезисторов. Для борьбы с этими недостатками разработано большое количество конструктивных и схемных методов компенсации погрешностей ТП, позволяющих изготавливать в настоящее время датчики, работающие в интервале температур от -50 до +125° C с основной погрешностью 0,5% и дополнительной температурной погрешностью 0,1 - 0,4% на каждые 10°C. Вместе с тем, трудоемкая индивидуальная настройка датчиков, необходимая для получения высоких метрологических характеристик, повышает их стоимость и ограничивает объем производства. К недостаткам наиболее широко используемых в последние годы интегральных кремниевых ПЧЭ следует отнести также необходимость формирования в них p-n -переходов, изолирующих тензорезисторы друг от друга и от подложки. Наличие p-n -переходов ограничивает верхнее значение рабочей температуры величиной 130 - 150° С (для кремния), понижает стабильность характеристик датчиков, не позволяет обеспечить высокую радиационную стойкость ПЧЭ. Указанные недостатки обусловили ограниченность применения полупроводниковых тензорезисторных датчиков в современных системах контроля и управления технологическими процессами, хотя объем производства таких датчиков за рубежом непрерывно растет, что связано, в первую очередь, с массовым потреблением не очень точных, но сравнительно недорогих тензорезисторных датчиков автомобильной промышленностью [4].

Принципиально новые возможности в развитии тензорезисторных датчиков на основе ПЧЭ открылись с разработкой и исследованием гетероэпитаксиальных полупроводниковых структур типа «кремний на диэлектрике» [5]. Из них наиболее изучена и технологически освоена в производстве структура «кремний на сапфире» (КНС), представляющая собой тонкую монокристаллическую пленку кремния, выращенную на монокристаллической же сапфировой подложке с определенной кристаллографической ориентацией. Толщина кремниевой пленки варьируется от долей до нескольких микрометров. При изготовлении ПЧЭ на структуре КНС формируют тензочувствительную схему, в которой тензорезисторы имеют вид мезаструктур, отделенных друг от друга промежутками чистого сапфира.

Тензопреобразователи с ПЧЭ на основе структур КНС обладаю; всеми достоинствами ТП с интегральными кремниевыми ПЧЭ, а именно: упругий элемент таких преобразователей может быть изготовлен из монокристалла диэлектрика, так что в нем отсутствуют гистерезис и усталостные явления; тензорезисторы монолитно связаны с упругим элементом, что исключает явления гистерезиса и ползучести, характерные для слоев связующего; ПЧЭ изготавливаются методами твердотельной технологии, что обеспечивает высокую воспроизводимость характеристик при массовом производстве. Вместе с тем, ПЧЭ на основе КНС имеют дополнительные преимущества, ибо сапфир прочнее и жестче кремния и в принципе позволяет работать с большим уровнем деформаций, чем в интегральных ПЧЭ; сапфир обладает отличными упругими и изолирующими свойствами вплоть до температур порядка 1000° С, что делает ПЧЭ на основе КНС работоспособными при высоких температурах (до начала пластических деформаций в кремнии, т. е. приблизительно до 700° C); сапфир химически и радиационно исключительно стоек, поэтому интегральные схемы на основе КНС могут работать в условиях высокой радиации [6]; наконец, в ПЧЭ на основе КНС отсутствует p-n -переход, а следовательно, существенно упрощается технология их изготовления и увеличивается выход годных изделии. Такие ПЧЭ работоспособны в самых жестких условиях эксплуатации при широком интервале рабочих температур и обладают повышенной надежностью и стабильностью параметров.

Детальные исследования особенностей электрофизических характеристик и тензоэффекта в структурах КНС показали, что на их основе можно создавать тензопреобразователи с малой температурной погрешностью и высокой линейностью преобразования, т. е. свободные от недостатков, принципиально присущих ТП с интегральными кремниевыми ПЧЭ. Первые сообщения о наращивании монокристаллических пленок кремния на сапфировых подложках появились в 1964 г. [5], работы по использованию структур КНС в

тензорезисторных ПЧЭ были начаты в Советском Союзе в конце 60-х годов [7, 8]. Уже в 1974 г. началось серийное производство разработанных НИИТеплоприбором (Москва) общепромышленных датчиков избыточного давления «Кристалл» с ПЧЭ на основе КНС [9]. С 1978 г, серийно выпускается комплекс взрывобезопасных измерительных преобразователей теплоэнергетических параметров «Сапфир» [10], а в 1980 г. НИИТеплоприбором завершена разработка комплекса общепромышленных высокоточных датчиков теплоэнергетических параметров «Сапфир-22». Высокими метрологическими характеристиками обладают ТП на основе структур КНС, успешно работающие при криогенных (до 4 K) [11] и высоких (до 450° C) [12] температурах. В последние годы структуры КНС рассматриваются как перспективный материал для разработки полупроводниковых ТП и за рубежом [13, 14]. Так, в конце 1979 г. появилось сообщение о создании американской фирмой Conrac Corp. датчика абсолютного давления на основе КНС для использования при авиационных испытаниях [15].

ОСОБЕННОСТИ ЭЛЕКТРОФИЗИЧЕСКИХ ХАРАКТЕРИСТИК И ТЕНЗОРЕЗИСТИВНОГО ЭФФЕКТА В СТРУКТУРАХ КНС

Для тензорезисторных ПЧЭ оптимальной является структура КНС с кристаллографической ориентацией плоскости подложки $(001)_{\rm Sr}//(T012)_{\rm Al_2O_3}$. Структуры с такой ориентацией наиболее широко применяются в производстве интегральных схем, и их свойства изучены наиболее полно [5, 16]. По своим электрофизическим характеристикам они заметно отличаются от объемного и автоэпитаксиального кремния [16], что вызвано в основном двумя обстоятельствами: большим числом дефектов в пленке кремния из-за различия в типах и размерах кристаллических решеток кремния в сапфире и сильным термическим сжатием пленки кремния при остывании от температуры наращивания (~1000° C) из-за большого различия коэффициента теплового расширения кремния и сапфира. Высокая плотность дефектов влияет на процессы рассеяния носителей тока в КНС, особенно при низких температурах, и, следовательно, на величину и температурную зависимость подвижности носителей и удельного сопротивления КНС [16, 17]. Деформация сжатия кремния в плоскости пленки, достигающая величины $\epsilon_{TO} \cong 3 \cdot 10^{-3}$ при комнатной температуре, приводит к сильному искажению энергетического спектра разрешенных зон кремния [18, 19]. Зависящее от температуры изменение зонной структуры оказывает влияние как на процессы рассеяния носителей тока, так и на тензорезистивный эффект в структурах КНС.

Влияние термической деформации сжатия на тензоэффект в КНС n- типа проводимости рассматривалось в работе [20]. Показано, что в отличие от объемного кремния в структурах n- КНС компоненты m12 и m13 тензора эластосопротивления не совпадают. Экспериментально определенные соотношения между коэффициентами эластосопротивления в n- КНС оказались равными m11=-m12; m44≅m13=0 [18], тогда как в объемном кремнии n- типа проводимости m11≅-2m12=-2m13.

Экспериментальные температурные зависимости коэффициентов тензочувствительности тензорезисторов, изготовленных из сильнолегированных структур КНС р- типа проводимости, приведены в работе [21]. На рис. 1 показано, что коэффициент эластосопротивления m44 в структурах р- КНС при комнатной температуре практически совпадает с усредненными значениями m44 для объемного кремния (кривая на рис. 1). Так же, как и в объемном кремнии, выполняется соотношение m11,m12<<m44.

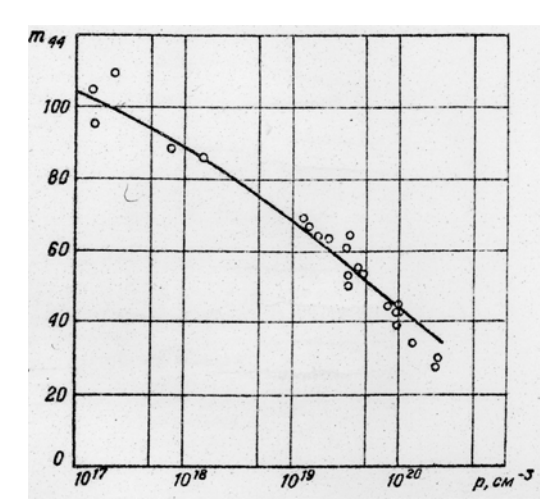


Рис. 1. Зависимость коэффициента эластосопротивления в структурах р- КНС от концентрации дырок.

Важной особенностью ПЧЭ на основе структур КНС является также зависимость электрофизических характеристик пленки кремния и чувствительности тензорезисторов к величине деформации сапфировой подложки от геометрических размеров последних. При формировании тензорезисторов в виде мезаструктуры по линии контакта кремний – сапфир – воздух возникают большие сдвиговые напряжения в кремнии, поскольку на свободной боковой грани тензорезистора термические напряжения отсутствуют [22]. Термическая деформация сжатия ε_T в пленке кремния изменяется от нуля на краю ее до максимального

значения ϵ_{TO} на достаточном удалении от края. Вследствие тензорезистивного эффекта под действием деформации ϵ_T изменяется удельное сопротивление пленки кремния в прикраевой области по сравнению с однородной пленкой КНС. Этот эффект особенно заметен поперек оси тензорезистора, когда область с измененным удельным сопротивлением составляет довольно большую долю объема тензорезистора. В результате, при уменьшении его ширины меняются среднее удельное сопротивление пленки кремния и его температурная зависимость.

Если ξ – степень ослабления средней термической деформации $\varepsilon_{\scriptscriptstyle T}$ в пленке кремния поперек резистора, ориентированного под углом ϕ к направлению [100] кремния и лежащего в плоскости (001) $(\xi = \varepsilon_{\scriptscriptstyle T}/\varepsilon_{\scriptscriptstyle TO})$, то относительное изменение среднего удельного сопротивления кремния в узком резисторе составляет

$$\frac{\Delta \rho}{\rho_0} = \left(m_{11} - v_k m_{12} - \frac{m}{2} \sin^2 2\varphi\right) \left(\varepsilon_1 + \varepsilon_2 \cos^2 \varphi\right) + \xi \left[\left(m_{12} - v_k m_{13} + \frac{m}{2} \sin^2 2\varphi\right) \left(\varepsilon_1 + \varepsilon_2 \sin^2 \varphi\right) - \frac{m}{4} \varepsilon_2 \sin 2\varphi \sin 4\varphi\right]$$
(1)

где ρ — удельное сопротивление ненапряженной пленки кремния; $\nu_{\kappa} = c_{12}/c_{11} = 0.386$ — коэффициент Пуассона кремния; $m = m_{11} - m_{12} - 2m_{44}$; ϵ_1 — относительная термическая деформация однородной пленки кремния в направлении, перпендикулярном проекции оси с на поверхность (T_{012}) сапфировой подложки; $\epsilon_1 + \epsilon_2$ — то же в направлении, параллельном проекции оси c.

Как следует из выражения (1), в узких резисторах (ξ <1) возникает анизотропия удельного сопротивления тем большая, чем меньше отношение ширины резистора b к его толщине d (рис. 2). Коэффициент ξ связан с величиной b/d экспериментальным соотношением

$$\xi \cong 1 - \exp(-0.1b/d) \tag{2}$$

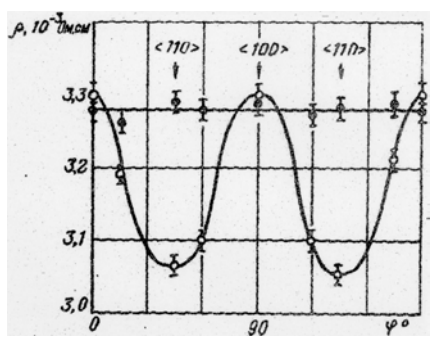


Рис. 2. Ориентационная зависимость удельного сопротивления кремния в резисторах различной ширины из p- KHC (концентрация дырок p= 4,8-10¹⁹ cm⁻³): \circ - b/d=9: \bullet - b/d=190.

На рис. З представлена зависимость отношения среднего удельного сопротивления пленки кремния вдоль узкого резистора к удельному сопротивлению $\rho\infty$ сплошной пленки кремния от величины b/d для двух направлений в пленке КНС – [100] (ϕ =0) и [110] (ϕ = π /4), - обладающих соответственно наименьшей и наибольшей тензочувствительностью. Кривые построены по соотношениям (1) и (2), точки показывают экспериментальные значения. Явление зависимости электрофизических свойств полупроводниковой пленки от ширины резистора имеет место в любых гетероэпитаксиальных структурах с неодинаковыми коэффициентами теплового расширения полупроводникового материала и подложки.

Несколько другой природы зависимость чувствительности тензорезисторов к деформации подложки от их геометрических размеров. Поскольку тензорезисторы имеют вид мезаструктуры, соединенной с подложкой только нижней гранью, деформация подложки ε поперек оси тензорезистора передается в его объем лишь частично. Если χ степень передачи деформации подложки ε в объем тензорезистора поперек его длинной оси $\chi = (\varepsilon/\varepsilon)_{\perp}$, где ε - среднее значение деформации в тензорезисторе), то коэффициенты чувствительности продольного и поперечного (относительно деформации ε) тензорезисторов, ориентированных вдоль наиболее тензочувствительного направления [110], имеют вид

$$K_{\parallel} = \frac{1}{\varepsilon} \left(\frac{\Delta R}{R_0} \right)_{\parallel} = \frac{1 - \chi v_c}{2} \left[m_{11} + (1 - 2v_k) m_{12} \right] + (1 + \chi v_c) m_{44}$$

$$K_{\perp} = \frac{1}{\varepsilon} \left(\frac{\Delta R}{R_0} \right)_{\perp} = \frac{\chi - v_c}{2} \left[m_{11} + (1 - 2v_k) m_{12} \right] - (\chi + v_c) m_{44}$$
(3)

где v_c =0,277 — коэффициент Пуассона сапфира. Коэффициент χ связан с величиной b/d экспериментальным соотношением

$$\chi \cong 1 - \exp(-0.07b/d) \tag{4}$$

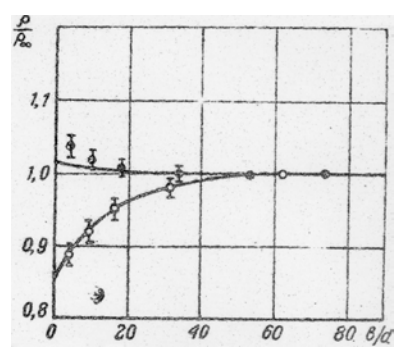


Рис. 3. Зависимость относительного изменения удельного сопротивления кремния в резисторах из КНС, ориентированных вдоль направлений [110] (o) и [100] (\bullet), от отношения b/d при концентрации дырок $p \cong 5 \cdot 10^{19}$ см⁻³

На рис. 4 (кривые достроены по зависимостям (3) и (4), точки соответствуют экспериментальным значениям) показано, что с уменьшением ширины тензорезисторов их поперечная тензочувствительность заметно ослабляется. Это явление имеет место для любых (в том числе и автоэпитаксиальных) тензорезисторов, изготовленных в виде мезаструктуры.

Одна из существенных характеристик тензоэффекта в полупроводниках — его нелинейность. Как известно [1], зависимость относительного изменения сопротивления кремниевых тензорезисторов от деформации описывается нелинейным выражением вида

$$\frac{\Delta R}{R_0}(\varepsilon) = K\varepsilon + K^{(1)}\varepsilon^2 + K^{(2)}\varepsilon^3 + \dots$$

Для продольных и поперечных диффузионных кремниевых тензорезисторов р- типа, ориентированных вдоль направлений <110> в плоскости (001),

характер зависимостей $\frac{\Delta R}{R_0}(\epsilon)$ существенно различается [23]:

$$\left(\frac{\Delta R}{R_0}\right)_{\parallel} \cong K_{\parallel} \varepsilon + K_{\parallel}^{(2)} \varepsilon^2;
\left(\frac{\Delta R}{R_0}\right)_{\parallel} \cong K_{\perp} \varepsilon + K_{\perp}^{(1)} \varepsilon^2;$$
(5)

поэтому тензочувствительные схемы. ПЧЭ, образованные комбинацией продольных и поперечных тензорезисторов, обладают значительной нелинейностью преобразования [23]. Для тензорезисторов из р-КНС (как продольных, так и поперечных), ориентированных вдоль направления <110>, относительное изменение сопротивления хорошо описывается квадратичным двучленом типа (5), причем значения нелинейных коэффициентов $K^{(1)}$ также зависят от геометрических размеров тензорезисторов, Это дает возможность конструировать тензорезисторные ПЧЭ с высокой линейностью преобразования, а в некоторых случаях компенсировать нелинейность упругого преобразования в ТП.

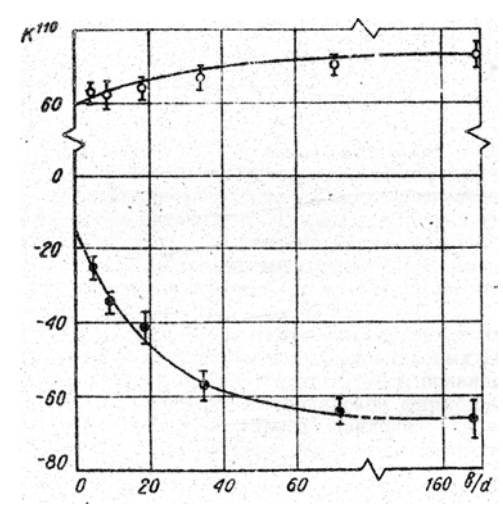


Рис. 4. Зависимость коэффициентов чувствительности продольных ($_{\rm O}$) и поперечных ($_{\rm O}$) тензорезисторов, ориентированных вдоль направления <110>, от отношения $_{\rm C}$ /d при концентрации дырок $_{\rm P}$ =5·10 $_{\rm C}$ 9 см $_{\rm C}$ 3

ДИФФЕРЕНЦИАЛЬНО-ТЕМПЕРАТУРНАЯ ИНВАРИАНТНОСТЬ ПЬЕЗОСОПРОТИВЛЕНИЯ В СТРУКТУРАХ p- КНС И ТЕМПЕРАТУРНАЯ АВТОКОМПЕНСАЦИЯ ПЧЭ И ТП

Рассмотрим требования, предъявляемые к материалам и конструкции «идеально термостабильного»

тензопреобразователя, выходной сигнал которого не зависит от температуры. Для определенности возьмем тензопреобразователь, имеющий ПЧЭ с наиболее широко распространенной тензочувствительной схемой в виде активного моста с четырьмя тензорезисторами $R_1 - R_4$, два из которых (R_1 и R_3) увеличивают свое сопротивление под влиянием деформации ПЧЭ, вызванной воздействием измеряемого механического параметра Π (давления, силы, перемещения и т. п.), а два других (R_2 и R_4) – уменьшают. Будем считать, что начальные сопротивления тензорезисторов при отсутствии деформации ПЧЭ одинаковы, т. е. мост сбалансирован при начальной температуре T_0 и R_1 = R_3 , а R_2 = R_4 .

Сопротивления R_i тензорезисторов зависят как от деформации ε (ε —характерная деформация поверхности сапфира ПЧЭ в месте расположения тензорезистора, например продольная деформация в ПЧЭ балочного типа или радиальная с ПЧЭ мембранного типа), так и от температуры $T: R_i = R_i(\varepsilon, T), j = 1, 2.$ Деформация ϵ пропорциональна измеряемому механическому параметру Π

$$\varepsilon = A(T)\Pi \,, \tag{6}$$

где коэффициент упругого преобразования A(T) определяется конструкцией тензопреобразователя и упругими характеристиками применяемых в нем материалов.

Температурная погрешность выходного сигнала тензопреобразователя складывается из двух составляющих – аддитивной и мультипликативной – принципиально различного происхождения. Аддитивная составляющая (температурный дрейф нуля, т. е. изменение выходного сигнала ТП в зависимости от температуры при Π =0) обусловлена различной температурной зависимостью сопротивлений тензорезисторов в смежных плечах моста, которая характеризуется температурным коэффициентом сопротивления (ТКС)

$$\alpha_{R_j} = \frac{1}{R(0,T)} \frac{\partial R(0,T)}{\partial T}.$$
(7)

Реализация ТКС тензорезисторов из КНС определяются, в основном, технологическим разбросом электрофизических характеристик пленки кремния и геометрических размеров тензорезисторов. Современная технология обеспечивает равенство ТКС тензорезисторов на одном ПЧЭ с погрешностью не хуже 0,2%, что вызывает температурный дрейф нуля ПЧЭ не более 0,02—0,05 % /10° С.

Мультипликативная составляющая температурной погрешности, т. е. температурное изменение диапазона выходного сигнала (чувствительности) тензопреобразователя, определяется температурной зависимостью электрофизических характеристик материала ПЧЭ и упругих свойств ТП. Запишем сопротивление тензорезистора в мостовой тензочувствительной схеме в виде

$$R_{i}(\varepsilon,T) = R(T)[1 + K_{i}(\varepsilon,T)\varepsilon], j = 1,2$$
(8)

где
$$K_{j}(\varepsilon,T)$$
 – коэффициент чувствительности тензорезистора. Тогда выходной сигнал ПЧЭ равен [2]
$$U_{u}(\varepsilon,T) = U^{0}\varepsilon \frac{K_{1}(\varepsilon,T) - K_{2}(\varepsilon,T)}{2 + K_{1}(\varepsilon,T)\varepsilon + K_{2}(\varepsilon,T)\varepsilon} \cong U^{0}K(\varepsilon,T)\varepsilon \tag{9}$$

при питании мостовой схемы от источника напряжения U⁰ и

$$U_{i}(\varepsilon,T) = \frac{i^{0}}{2} R(T) [K_{1}(\varepsilon,T) - K_{2}(\varepsilon,T)] \varepsilon = i^{0} R(T) K(\varepsilon,T) \varepsilon$$
(10)

при питании схемы от источника тока i^0 . В выражениях (9) и (10) $K(\varepsilon,T) = \frac{1}{2} [K_1(\varepsilon,T) - K_2(\varepsilon,T)]$

коэффициент тензочувствительности ПЧЭ. В выражении (9) учтено, что при ориентации тензорезисторов в плоскости (001) по направлениям <110> $K_1(\varepsilon, T) \cong -K_2(\varepsilon, T)$ в широком диапазоне температур.

Выходной сигнал ТП не зависит от температуры при условии, что

$$\frac{1}{U(\Pi,T)} \frac{\partial U(\Pi,T)}{\partial T} = 0$$
(11)

Если ввести обозначения

$$\alpha_{K} = \frac{1}{K(\varepsilon, T)} \frac{\partial K(\varepsilon, T)}{\partial T}$$

- температурный коэффициент тензочувствительности ПЧЭ (ТЧК), а

$$\alpha_A = \frac{1}{A(T)} \frac{\partial A(T)}{\partial T}$$
(12)

- температурный коэффициент упругого преобразования тензопреобразователя (ТКУП), то условие независимости чувствительности ТП от температуры (11) можно записать в виде

$$\alpha_K + \alpha_A = 0$$

или

 $\alpha_K + \alpha_R + \alpha_A = 0$

(13)

при питании мостовой тензочувствительной схемы ПЧЭ соответственно от генераторов напряжения или тока. А так как в абсолютном большинстве случаев $|\alpha_A| << |\alpha_R|$, $|\alpha_K|$ получаем, что температурные изменения чувствительности ТП определяются, главным образом, характеристиками полупроводникового материала тензорезисторов. Следовательно, чувствительность ТП не зависит от температуры, если во всем рабочем диапазоне температур выполняются условия

```
lpha_{_{\it K}}\cong 0 (14) при питании мостовой схемы от источника напряжения и lpha_{_{\it K}}+lpha_{_{\it R}}\cong 0 (15) при питании схемы от источника тока.
```

Отметим, что в литературе для ТКС и ТКЧ используются чаще всего выражения, полученные из линеаризованных температурных зависимостей сопротивления и тензочувствительности. При этом, как видно из выражения (10), обращение в нуль суммы ТКС и ТКЧ не обеспечивает температурную стабильность чувствительности тензопреобразователя. Для уменьшения температурной зависимости чувствительности ТП с интегральными кремниевыми ПЧЭ используется питание мостовой тензосхемы от генератора тока [1, 24], но получить постоянную чувствительность в достаточно широком диапазоне температур в таких ТП не представляется возможным [24]. На рис. 5 показаны зависимости коэффициентов α_K и $\alpha_R + \alpha_K$ от поверхностной концентрации дырок p_S для мембранных интегральных ПЧЭ с диффузионными кремниевыми тензорезисторами, рассчитанные по данным фирмы Schlumberger (Франция) [25]. Как видно из рисунка, условия (14) и (15) не выполняются ни при каких значениях p_S в более или менее широком интервале температур. Поэтому обычно в интегральных кремниевых ПЧЭ используют тензорезисторы с p_S \cong 3·10¹⁸ см- 3 (что соответствует удельному сопротивлению около 0,02 Ом-см) и питают тензочувствительную схему от генератора тока, а получающуюся нелинейную температурную зависимость чувствительности ТП компенсируют с помощью различных электронных схем

В сильнолегированных структурах КНС р- типа проводимости для ПЧЭ с тензорезисторами, ориентированными по взаимно перпендикулярным направлениям типа [110], ТКЧ практически во всех случаях совпадает с температурным коэффициентом эластосопротивления (ТКЭ), являющимся характеристикой собственно структуры КНС:

$$\alpha_{K} = \frac{1}{K(T)} \frac{\partial K(T)}{\partial T} \cong \frac{1}{m_{44}(T)} \frac{\partial m_{44}(T)}{\partial T} = \alpha_{m}.$$

Как показали исследования, при определенном уровне легирования подобных структур КНС величины α_m и α_R остаются неизменными в широком интервале температур. Другими словами, в этом температурном интервале удельное сопротивление ρ и коэффициент эластосопротивления m_{44} структур p- КНС изменяются с температурой по закону

$$\rho(T) = \rho_0 \exp(\alpha_p T),$$

$$m_{44}(T) = m_0 \exp(\alpha_m T).$$

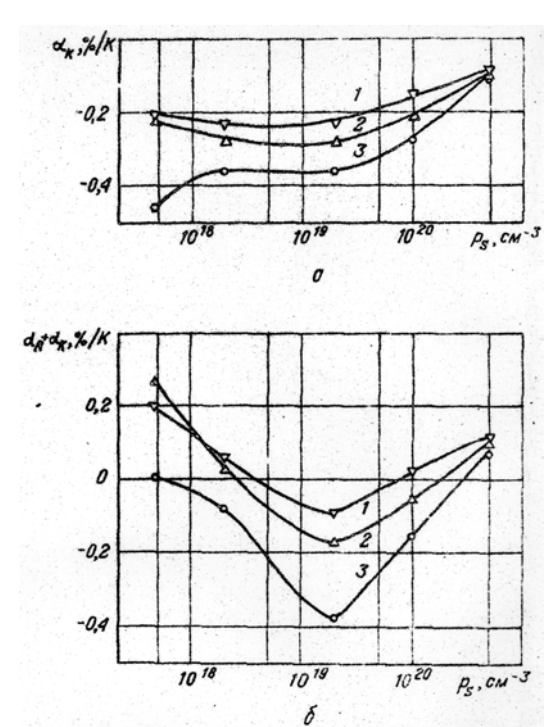


Рис. 5. Зависимость ТКЧ (а) и суммы ТКС и ТКЧ (б) от поверхностной концентрации дырок для кремниевых ПЧЭ мембранного типа с диффузионными тензорезисторами:

1 – при температуре 120° C; 2 – при 40° C; 3 – при -40° C

Сказанное хорошо иллюстрирует рис. 6, на котором приведены экспериментальные зависимости $\rho(T)$ и $m_{44}(T)$ в диапазоне температур 77—470 К, построенные в полулогарифмическом масштабе.

Поскольку величины $\alpha_p \cong \alpha_R$ и α_m представляют собой относительные скорости изменения удельного сопротивления и коэффициента эластосопротивления с температурой, явление одновременного постоянства этих величин в некотором интервале температур при определенном уровне легирования бором структур КНС может быть названо дифференциально-температурной инвариантностью пьезосопротивления (ДТИП). Зависимость температурных интервалов постоянства ТКС и ТКЭ от уровня легирования КНС- структур (рис. 7) показывает, что со стороны низких температур область ДТИП (выделена двойной штриховкой) ограничена приблизительно 180 K, а со стороны высоких температур уходит за 470 K. Явление ДТИП в структурах КНС наблюдается при концентрациях дырок не менее 2,5 ·10¹⁹ см⁻³, что соответствует удельному сопротивлению около 0,0055 Ом-см. Зависимость суммы величин $\alpha_p + \alpha_m$ в области их постоянства от уровня легирования структур КНС приведена на рис. 8. Как видно из рисунка, условие (15) выполняется при концентрации дырок p_{20} =(8,0±0,8)·10¹⁹ см⁻³, что соответствует удельному сопротивлению (0,0021 ±0,0002) Ом-см. Область выполнения условия температурной стабильности чувствительности ПЧЭ (15) показана на рис. 7 пунктиром. Таким образом, при питании мостовой схемы от генератора тока чувствительность ПЧЭ на основе КНС с концентрацией дырок, равной p_{20} , не зависит от температуры в диапазоне, по крайней мере, от 190 до 470 K (-80...+200° C).

На рис. 9 показаны зависимости коэффициентов α_K и $\alpha_R + \alpha_K$ от степени легирования кремния для ПЧЭ на основе КНС в диапазоне температур от 123 до 473 К (-150...+200°С). Эти зависимости принципиально отличаются от соответствующих зависимостей для диффузионных кремниевых ПЧЭ (см. рис. 5).

Во-первых, в области концентрации дырок p_{10} =(2,0±0,2)·10²⁰см⁻³ значение ТКЧ не превышает ±0,02%/К в диапазоне температур 77—273 К (-20С...0°С), т. е. в этом температурном диапазоне приблизительно выполняется условие (14). Следовательно, при питании мостовой тензосхемы от генератора напряжения температурная погрешность чувствительности ПЧЭ в указанном интервале температур может быть сделана не более ±0,2%/10 К, что позволяет во многих случаях не осуществлять дополнительной схемной компенсации чувствительности. Во-вторых, как уже обсуждалось, при концентрации дырок p_{20} =(8.0±0,8)·10¹⁹ см-³ в диапазоне температур 190—470 К выполняется условие (15). С учетом точного условия (13) это означает, что при питании мостовой тензосхемы ПЧЭ от генератора тока температурная погрешность чувствительности тензопреобразователя определяется лишь величиной α_A (12). А так как в этом интервале температур α_A представляет собой, как правило, медленно меняющуюся положительную величину, практически для любого типа ТП можно подобрать такой оптимальный уровень легирования p_2 при котором будет выполняться условие (13),. правда, как следует из рис. 7, в несколько суженном со стороны низких значений диапазоне температур.

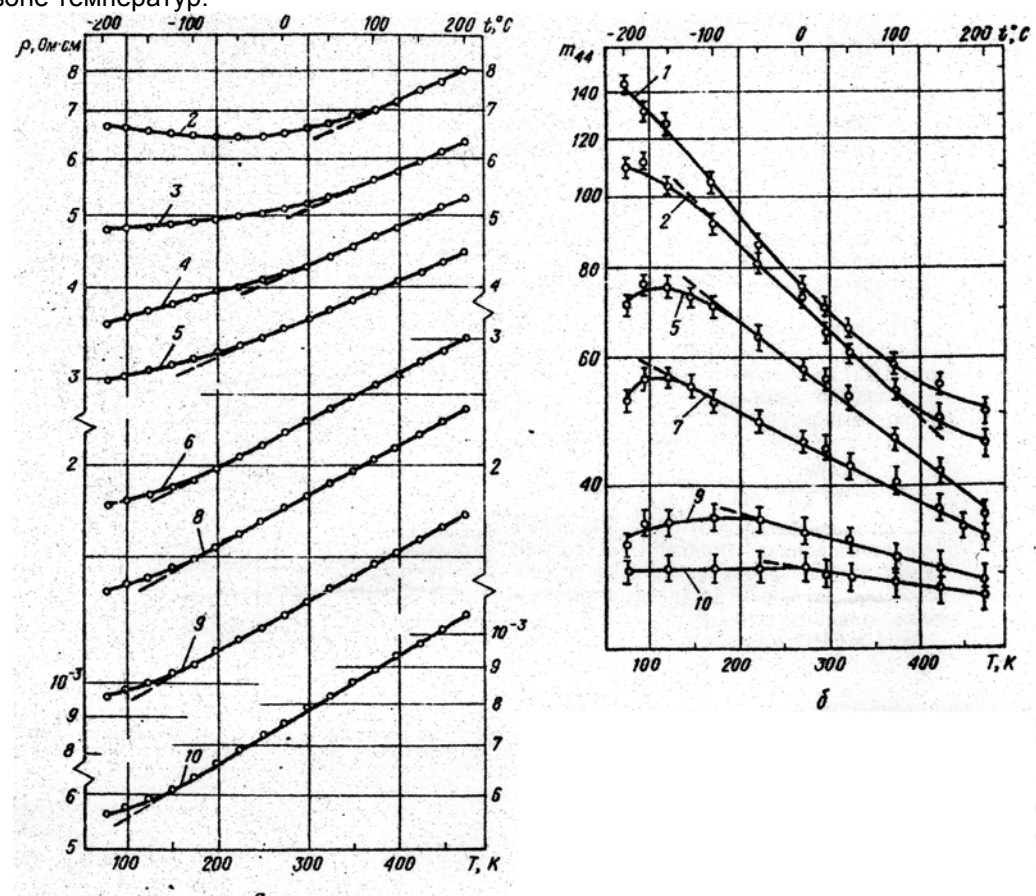


Рис. 6. Температурные зависимости удельного сопротивления (a) и коэффициента эластосопротивления (б) структур КНС *p*- типа:

1 – концентрация дырок p=1,3·10¹⁹ cm⁻³; 2 – p=2,1·10¹⁹ cm⁻³; 3 – p=2,8·10¹⁹ cm⁻³; 4 – p=3,6·10¹⁹ cm⁻³; 5 – p=4,3·10¹⁹ cm⁻³; 6 – p=7,2·10¹⁹ cm⁻³; 7 – p=7,9·10¹⁹ cm⁻³; 8 – p=8,5·10¹⁹ cm⁻³; 9 – p=1,3·10²⁰ cm⁻³;

$$10 - p = 2,3 \cdot 10^{20} \text{ cm}^{-3};$$

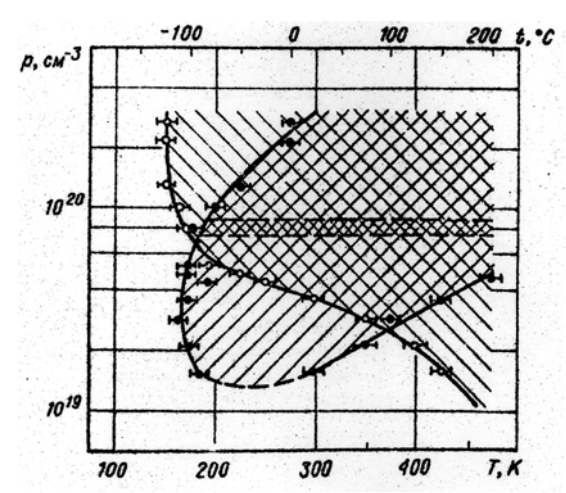


Рис. 7. Границы температурных интервалов постоянства ТКС (о) и ТКЭ (\bullet) структур КНС p- типа проводимости при различных концентрациях дырок

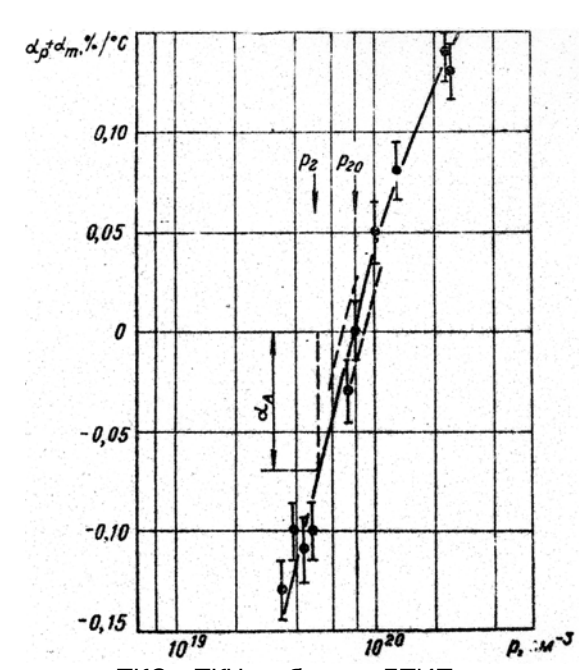


Рис. 8. Зависимость суммы ТКС к ТКЧ в области ДТИП от концентрации дырок в КНС

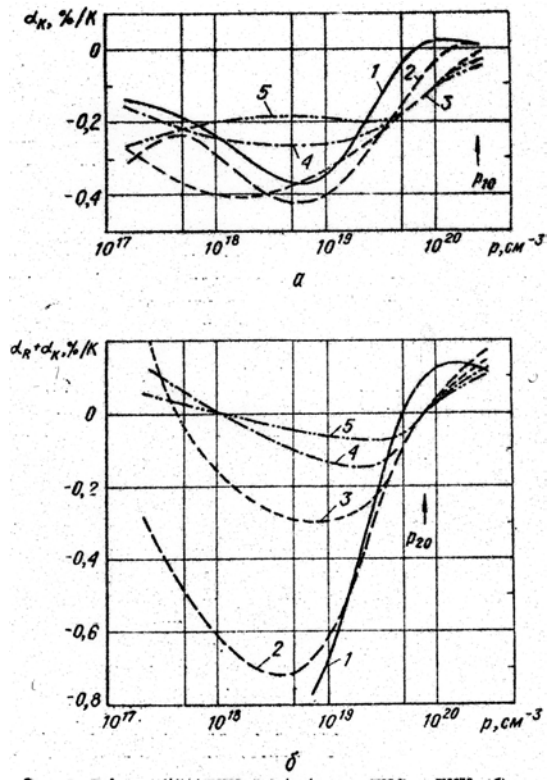


Рис. 9. Зависимость ТКЧ (а) и суммы ТКС и ТКЧ (б) от концентрации дырок для ПЧЭ на основе КНС: 1 – при температуре – 150° C; 2 – при – 100° C; 3 – при 0° C; 4 – при 100° C; 5 – при 200° C.

Соответствующим выбором степени легирования структур КНС можно получать ПЧЭ с выходным сигналом, не зависящим от температуры. При этом происходит как бы автокомпенсация температурной погрешности преобразования, поскольку при питании тензосхемы от генератора тока уменьшение выходного сигнала в результате падения тензочувствительности ПЧЭ точно компенсируется увеличением напряжения питания благодаря росту сопротивления тензорезисторов. Подобная автокомпенсация ПЧЭ на основе КНС может быть использована для создания высокоточных тензопреобразователей механических величин, работающих в широком диапазоне температур (по крайней мере, от -200 до +200° С) и не требующих дополнительной схемной компенсации температурной погрешности. Как показали исследования, явление автокомпенсации может иметь место в КНС вплоть до температур порядка 500° С [12].

ОСОБЕННОСТИ ПРОЕКТИРОВАНИЯ И ИЗГОТОВЛЕНИЯ ПЧЭ И ТЕНЗОПРЕОБРАЗОВАТЕЛЕЙ

В число задач, решаемых при проектировании ПЧЭ на основе структур КНС, входит выбор оптимальных размеров и расположения тензорезисторов на ПЧЭ, а также выбор оптимального уровня легирования структур КНС, обеспечивающего минимальную температурную погрешность преобразования. Эти задачи должны решаться с учетом конструкции ТП и формы используемого ПЧЭ. В качестве примера рассмотрим Два основных вида конструкции тензопреобразователей давления и силы (ускорения), использующих ПЧЭ на основе структур КНС (рис. 10). В тензопреобразователях давления и силы, показанных на рис. 10, а и б соответственно, ПЧЭ мембранного или балочного типа выполняют одновременно функции упругого элемента ТП, преобразующего измеряемый параметр (давление P или силу F) в деформацию тензорезисторов. В тензопреобразователях на рис. 10, в и e ПЧЭ жестко соединены с металлическими упругими элементами ТП, и функция упругого преобразования (6) определяется свойствами образующейся многослойной структуры.

Оба вида конструкций имеют свои достоинства и недостатки. В тензопреобразователе с сапфировым упругим элементом [15, 26] отсутствуют гистерезисные и усталостные явления, присущие металлу, и деформация ПЧЭ, возникающая из-за соединения с металлическими тензопреобразователя и ведущая к дополнительной температурной погрешности; значение ТКУП определяется только упругими характеристиками КНС, поэтому оптимальный уровень легирования не зависит от конструкции тензопреобразователя и обеспечивает автокомпенсацию температурной погрешности в максимальном диапазоне температур. Вместе с тем, из-за хрупкости сапфира подобные Тензопреобразователи обладают пониженной надежностью в условиях возможных ударных перегрузок; для предотвращения разрушения ПЧЭ должны работать при малых деформациях, что снижает чувствительность ТП [15]. Обеспечение широкого диапазона измерения требует набора ПЧЭ разнообразных размеров и конфигураций, что нежелательно при массовом производстве. Само изготовление таких ПЧЭ представляет сложную задачу, ибо современная технология обработки монокристаллов сапфира не позволяет получать в массовом производстве сапфировые детали точно заданных размеров и сложной формы; наращивание однородной кремниевой пленки на профилированную сапфировую подложку также является довольно

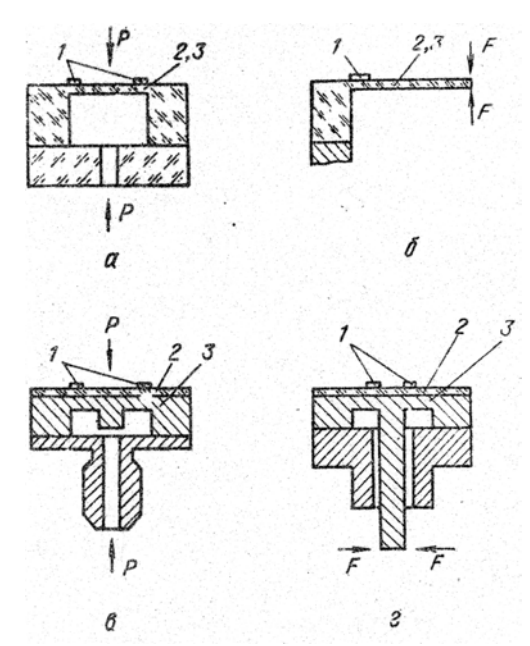


Рис. 10. Тензопреобразователи давления (а, в) и силы (б, г) с ПЧЭ на основе КНС: 1 – тензорезисторы; 2 – ПЧЭ; 3 — упругий элемент

Тензопреобразователя с металлическими упругими элементами обладают высокой надежностью в самых тяжелых условиях эксплуатации; даже при разрушении ПЧЭ Тензопреобразователи сохраняют герметичность. Металлическим упругим элементам можно легко придавать любые размеры и форму, обеспечивая высокую линейность упругого преобразования, а используемые ПЧЭ могут быть конфигурацию, удобную для массового производства на унифицированными и иметь простейшую стандартном оборудовании. Разработанная технология жесткой пайки ПЧЭ на металлические упругие элементы [27] обеспечивает полную передачу деформации от упругого элемента к ПЧЭ. Однако большая разница в коэффициентах теплового расширения металла упругого элемента и сапфира ведет к возникновению в ПЧЭ термических деформаций, изменяющих значения ТКС и ТКЧ тензорезисторов и приводящих к дополнительной аддитивной температурной погрешности из-за неоднородности переходного слоя. Кроме того, поскольку функция упругого преобразования (6) в таких ТП зависит, от характеристик как сапфира, так и металла, на оптимальный уровень легирования структур КНС в общем случае влияет конструкция ТП, а автокомпенсация температурной погрешности чувствительности обеспечивается в менее широком диапазоне температур. Наконец, пайка сапфира жесткими припоями требует наличия титана и проходит при высоких температурах (около 850° C). Несмотря на то, что дисперсионно-твердеющие титановые сплавы (ВТ-9. ВТ-15 и др.) имеют хорошие упругие характеристики в довольно широком диапазоне температур, необходимость пайки ПЧЭ ограничивает выбор материала упругого элемента и предельную рабочую температуру ТП и несколько усложняет технологию изготовления последних.

Оптимальное расположение тензорезисторов на ПЧЭ выбирается из условия обеспечения максимального выходного сигнала и минимальной нелинейности преобразования. В мембранных тензопреобразователях давление (см. рис. 10, а. в) тензорезисторы располагаются у внешнего края мембраны параллельно и перпендикулярно радиусу вдоль кристаллографических направлений <110> [28], в балочном тензопреобразователе силы (см. рис. 10, б) – возможно ближе к месту заделки балки и ориентируются вдоль и поперек ее оси по направлениям <110>. В мембранно-рычажном ТП силы (см. рис. 10, г) тензорезисторы расположены у края жёсткого центра мембраны вдоль радиуса по одному из направлений <110>. Ширина и толщина тензорезисторов из КНС в отличие от диффузионных выбираются из условия обеспечения минимума нелинейности выходного сигнала ТП. Как правило, активные тензорезисторы сочиняются в замкнутую мостовую схему [29]. В смежные плечи моста включаются дополнительные кремниевые резисторы, закороченные кремниевыми металлизированными перемычками и служащие для начальной балансировки мостовой схемы. Как активные, так и подгоночные резисторы, а также все соединительные дорожки и перемычки нормируются одновременно анизотропным травлением пленки кремния в растворе едкого калия. Изготовление замкнутой мостовой тензосхемы позволяет исключить влияние переходных контактных сопротивлений на метрологические характеристики ТП и повысить их временную стабильность. Для дополнительной стабилизации характеристик все резисторы защищаются пленкой термического или пиролитического окисла. Следует иметь в виду, что при термическом окислении структур КНС концентрация бора в пленке кремния понижается [30], так что в исходных структурах уровень легирования должен быть выше оптимального.

Все процессы формирования тензочувствительной схемы ПЧЭ (окисление, фотолитография, травление окисла и кремния) проводятся по групповой технологии полупроводниковых интегральных схем на стандартном технологическом оборудовании. При этом в зависимости от размеров ПЧЭ и структур КНС на

одной структуре одновременно формируются тензосхемы от одного до нескольких десятков ПЧЭ. После разделения (обычно скрайбированием) ПЧЭ напаиваются твердым припоем всей поверхностью на упругий; элемент тензопреобразователя. На контактные площадки и соединительные дорожки напыляется алюминий, а вход и выход тензосхемы соединяются с контактами коллектора термокомпрессией золотых или алюминиевых проводников. Если тензопреобразователи предназначены для работы при отрицательных температурах или конструкция датчика не предусматривает защиту тензосхемы от контакта с атмосферой и измеряемой средой, после балансировки моста вся поверхность ПЧЭ дополнительно покрывается тонким слоем герметика для защиты от влаги. В тензопреобразователях давления с профилированным ПЧЭ (см. рис. 10, а) сложная форма сапфирового упругого элемента достигается либо газовым травлением сапфира при высокой температуре перед наращиванием пленки кремния [26], либо соединением плоской сапфировой мембраны с керамическим основанием стеклоприпоем [15].

МЕТРОЛОГИЧЕСКИЕ ХАРАКТЕРИСТИКИ ТЕНЗОПРЕОБРАЗОВЛТЕЛЕЯ С ПЧЭ НА ОСНОВЕ КНС

К настоящему времени на основе структур КНС разработан ряд тензопреобразователей и датчиков механических величин с высокими метрологическими характеристиками.

Первые датчики избыточного давления «Кристалл» [9] класса точности 1-1,5 охватывали диапазон давлений от 0-0.1 до 0-40 МПа, строились на базе ТП мембранного типа с плоской металлической мембраной и имели нелинейность 0,3-0,5%, а гистерезис не более 0,1%. Поскольку первоначально в датчиках «Кристалл» использовались структуры КНС с $p\cong4,5\cdot10^{18}$ см $^{-3}$, не обеспечивающие автокомпенсации температурной погрешности чувствительности, область рабочих температур датчиков составляла 5-50° С, а трудоемкость температурной компенсации с помощью электронных схемы была довольно высока. Следует, однако, отметить, что исследования датчиков «Кристалл» показали высокую временную стабильность характеристик тензопреобразователей на основе КНС: изменение параметров не превышало $\pm0,1\%$ за 18000 ч работы [31].

Комплекс датчиков «Сапфир» класса точности 0,6-1,5 [10], предназначенных для измерения абсолютного и избыточного давлений, разрежения, разности давлений и т. п. (всего восемь параметров), построен на основе тензопреобразователей силы и давления с металлическим упругим элементом на ПЧЭ диаметром 20 мм. Датчики обеспечивают измерения в широком диапазоне значений параметров во взрывоопасных условиях эксплуатации с основной погрешностью 0,3-0,5%. Частичная оптимизация ПЧЭ, использованных в тензопреобразователях датчиков «Сапфир», и дополнительная схема температурной компенсации позволили добиться изменения выходного сигнала в пределах 0.2—0,3%/10° С в интервале температур ±50° С.

Более совершенным в конструктивном и метрологическом отношениях являются тензопреобразователи силы и давления с металлическими упругими элементами и ПЧЭ размером 10х10 мм [29]. Основные характеристики этих ТП приведены в таблице (первые два прибора), а типичные температурные зависимости относительного изменения начального сигнала и чувствительности показаны на рис. 11. Для сравнения там же пунктирной линией дана температурная зависимость чувствительности интегрального кремниевого ТП давления фирмы Schlumberger [32]. Маленькая нелинейность, практическое отсутствие гистерезиса, высокий уровень выходного сигнала и небольшая температурная погрешность в широком диапазоне температур позволяют во многих случаях использовать ТП на основе структур КНС для непосредственных измерений силы и давления без дополнительных схем усиления сигнала и компенсации температурных погрешностей.

На основе этих тензопреобразователей силы и давления разработан комплекс общепромышленных высокоточных датчиков «Сапфир-22» класса точности 0,1-0,25 [33]. Датчики предназначены для преобразования в сигнал постоянного тока 0-5, 0-20 или 4-20 мА абсолютного и избыточного давлений, разрежения, разности давлений, расхода жидкостей и газов, уровня жидких сред и работают в диапазоне температур от -50 до +80° С. Перестраиваемый (до 10:1) диапазон измерений позволяет существенно сократить количество выпускаемых моделей датчиков. По диапазону измеряемых величин, метрологическим характеристикам, стабильности и надежности комплекс датчиков «Сапфир-22» является на сегодняшний день самой совершенной системой общепромышленных приборов для измерения теплоэнергетических параметров.

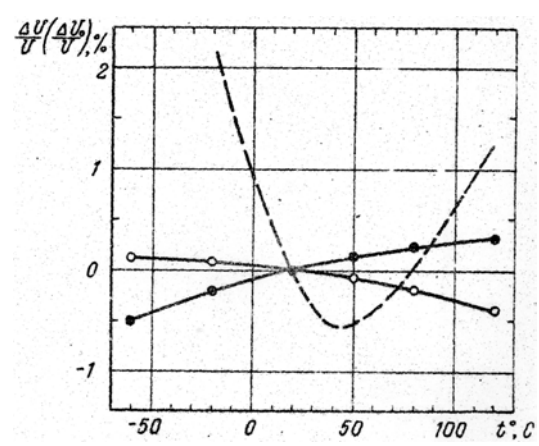


Рис. 11. Относительные значения аддитивной (•) и мультипликативной (•) температурных погрешностей тензопреобразователя с ПЧЭ на основе КНС

Для работы в области криогенных и повышенных температур предназначены третий и четвертый приборы из приведенных в таблице [11, 12]. Пятый - это миниатюрный ТП давления для исследования кишечно-желудочного тракта [26], шестой (и последний) — ТП абсолютного давления американской фирмы Conrac Corp. Низкий выходной сигнал этого ТП компенсируется почти 20-кратным запасом по прочности; схема температурной компенсации обеспечивает маленькую погрешность, хотя и сужает температурную область использования тензопреобразователя. Заметим, что стоимость ТП давления фирмы Conrac Corp. достаточно высока — от 1200 до 1900 долл. [15].

ОБЛАСТИ ПРИМЕНЕНИЯ И ПЕРСПЕКТИВЫ РАЗВИТИЯ ПЧЭ И ТП НА ОСНОВЕ СТРУКТУР КНС

Специфические особенности ПЧЭ на основе структур КНС и имеющийся опыт их использования говорят о широких возможностях тензопреобразователей с полупроводниковыми чувствительными элементами на КНС. В первую очередь, они находят применение для построения комплексов высокоточных, высокостабильных, падежных датчиков механических величин для систем контроля и управления разнообразными технологическими процессами во всех отраслях промышленности. Благодаря химической инертности сапфира микроминиатюрные ПЧЭ на основе профилированных структур КНС удобны для биомедицинских исследований, особенно в системах диагностики заболеваний [34]. Малогабаритные ТП с расширенным диапазоном температур могут быть использованы и системах технической диагностики, например в двигателестроении [15].

Перспективы использования структур «кремний на сапфире» в ПЧЭ и ТП определяются прежде всего их достоинствами. Возможность автокомпенсации температурной погрешности чувствительности в ПЧЭ на основе КНС позволяет выпускать датчики механических величин достаточно высокой точности (класса 0,5-1,5), работающие в широком диапазоне температур без индивидуальной компенсации температурной погрешности, проведение, которой в датчиках с интегральными ПЧЭ, по данные фирмы Honeywell Inc. (США), составляет до 2/3 стоимости датчика [35]. Разработка более совершенной технологии соединения ПЧЭ с металлическими упругими элементами и деталями корпуса, а также введение корректирующих элементов в тензочувствительную схему позволят существенно снизить основную составляющую температурной погрешности ТП – температурный дрейф нуля – и повысить класс точности датчиков, не нуждающихся в индивидуальной схемной температурной компенсации, до 0,1—0,3.

Высокие механические характеристики и стабильность свойств структур КНС в полной мере должны проявиться в тензопреобразователях, упругие элементы которых выполнены из монокристаллического сапфира и жестко соединены с корпусными деталями из сапфира или глиноземной керамики. Точность преобразования у подобных ТП будет находиться на уровне образцовых средств измерения. Для создания таких тензопреобразователей необходима разработка технологии получения профилированных структур КНС разнообразной формы с точным соблюдением размеров и осуществления жесткого, температуростабильного соединения сапфировых деталей при относительно невысокой (400—900° C) температуре.

Отличные упругие и изолирующие свойства сапфира в области высоких температур и отсутствие *p-п*-переходов позволяют создавать ПЧЭ на основе КНС, работоспособные до температур порядка 700° С. Основные технические трудности при этом заключаются в разработке стабильных высокотемпературных контактов к кремнию и высокотемпературных электрических выводов для ТП и в обеспечении жесткого соединения ПЧЭ с температуростойкими деталями корпуса тензопреобразователя.

Высокая радиационная стойкость сапфира, использование сильнолегированного кремния и отсутствие *p-n-* переходов делают ПЧЭ на основе КНС перспективными для применения в условиях интенсивного облучения. Тензопреобразователи с такими ПЧЭ представляют большой интерес для атомной энергетики и других отраслей народного хозяйства. Хорошо зарекомендовали себя ПЧЭ на основе КНС и при измерении механических параметров в условиях криогенных температур. Здесь предстоят еще серьезные исследовательские и конструкторские работы, однако с учетом расширяющегося использования низких температур в современной технике эту область применения ПЧЭ на основе КНС также следует считать

перспективной.

Сегодня можно указать на два недостатка структур КНС, несколько ограничивающих возможности их использования в ТП механических величин: относительно высокая стоимость сапфировых подложек по сравнению с кремниевыми и сложность профилирования сапфира при массовом изготовлении ПЧЭ. Эти недостатки мешают ПЧЭ на основе КНС успешно конкурировать с интегральными кремниевыми ПЧЭ в таких потребления тензопреобразователей, потенциально массового как промышленность или бытовая техника, где стоимость датчиков является определяющим фактором [4]. Вместе с тем следует помнить, что, во первых, указанные недостатки обусловлены достоинствами (как ни парадоксально это звучит) структур КНС: высокой прочностью, твердостью и химической стойкостью сапфира, а во-вторых, они связаны в основном с начальным этапом промышленного становления технологии производства КНС. За последнее десятилетие стоимость сапфировых подложек уменьшилась на порядок, а диаметр увеличился в 5 раз, причем тенденция к снижению стоимости подложек сохраняется. И, наконец, более простая технология изготовления и меньший процент брака при производстве ПЧЭ на основе КНС по сравнению с интегральными кремниевыми ПЧЭ, а также лучшие температурные характеристики тензопреобразователей уменьшают разницу в стоимости готовых ТП на основе КНС и с интегральными кремниевыми ПЧЭ по сравнению с разницей в стоимости исходных материалов.

Таким образом, использование в тензопреобразователях специфических свойств гетероэпитаксиальных структур «кремний на сапфире» позволило создать новое поколение датчиков механических величин на основе тензорезисторных ПЧЭ. Это поколение, построенное на едином принципе преобразования, сохраняет все достоинства датчиков с интегральными кремниевыми ПЧЭ в части высокой чувствительности, надежности, малых габаритов и возможности массового производства. В то же время оно дополнительно характеризуется повышенной точностью преобразования и может быть использовано в широкой области температур при жестких условиях эксплуатации.

					ą.	2	_		_	Температурный дрейф			
Прибор, организация- разработчик, страна	Пределы измерения	Конструкция	Сопротивление моста, кОм	Ток (напряжение) питания	Начальный выходной сигнал, мВ	Диапазон выходного сигнала, мВ	Нелинейность, %	Гистерезис, %	Диапазон рабочих температур, °С	нуля. мВ/10°С	чувсвительности, %/10° С	Габаритные размеры, мм	Состояние разработки
ТП силы, НИИТеплоприбор , СССР	0-5; 0-50 H	Мембранно- рычажный с металлическим упругим элементом (УЭ)	3,2±0,2	2 мА	5	300±30	±0,05	<0,02	-60+120	±(0.05-1.5)	±(0.05-0,3)	⊘20x40	Серийное производство
ТП давления, НИИТеплоприбор , СССР	0-2,5; 0-16; 0-100 МПа	Мембранный с металлическим УЭ	3,2±0,2	2 мА	5	300±30	±(0,05-0,15)	<0.02	-60+120	±(0,05-1.5)	±(0,05-0.3)	Ø20X30	То же
То же	0-0.1 0- 100 МПа	То же	3,2±0,2	2 мА	5	100±10	±(0,05-0,15)	<0,02	-273+50	±(0,05-1,5)	0,5-1,0	⊘40x30 ⊘20x30	Макетные образцы
»	0-0.1 0- 100 МПа	»	3,2±0,2	2 мА	5	100±10	±(0,05-0,15)	<0,02	-30+400	±(0,05-1,5)	±(0,01-0,3)	⊘40x30 ⊘20x30	То же
ТП давления, СССР	0-400 кПа	Мембранный с сапфировым УЭ	1,0	3В	100	15	-	-	20-42	1 мВ/10°С		%2×2	Серийное производство
ТП давления, фирма Conrac Corp., CША	Не более 0- 7 МПа	То же		-	-	50±2	1	1	54+246	±0,3 и ±4% при 200°C (с элементами компенсации)		1	-

СПИСОК ЛИТЕРАТУРЫ

- 1. Полупроводниковые тензодатчики /Под ред. М. Дина. М.—Л.: Энергия, 1985. 213 с.
- 2.Эрлер В., Вальтер Л. Электрические измерения неэлектрических величин полупроводниковыми тензорезисторами. М.: Мир, 1974. 285 с.
- 3. Borky J. M., Wise K. D. Integrated signal conditioning for silicon pressure sensors—IEEE Trans. Electron. Devices, 1979, vol. 26, N 12, p. 1906.
- 4. Allan R. New applications open up for silicon sensors: a special report. Electronics, 1980, vol. 53, N 24, p. 113.
- 5. Папков В. С., Цыбульников М. В. Эпитаксиальные кремниевые слои на диэлектрических подложках и приборы на их основе. М.: Энергия, 1979. 88 с.
- 6. Brucker C. J., Thurlow L. Memory behaviour in a radiation environment. Electr. Eng., 1979, vol. 51, N 617, p. 67.
- 7. Ксенофонтов М. Е. Упругие элементы тензопреобразователей из сапфира. Приборы и системы управления, 1970, №3, с. 61.
- 8. Ксенофонтов М. Е., Суровиков М. В. Миниатюрный гетероэпитаксиальный преобразователь давления. В кн.: Приборы точной механики и технология приборостроения. М., 1972, №2. *с.* 176.
- 9. Полупроводниковый датчик давления «Кристалл»/Кенигсберг В. Л., Сердюков В. И., Мильман С. И. и др. Приборы и системы управления, 1974, № 7, с. 26.
- 10. Комплекс полупроводниковых тензорезисторных измерительных преобразователей «Сапфир»/Конигсберг В. Л., Стучебников В. М., Сердюков В. И. и др. Измерительная техника, 1978, №10, с. 84
- 11. Лурье Г. И., Стучебников В. М., Хасиков В. В. Использование структур КНС в низкотемпературных датчиках давления. Приборы и системы управления, 1981, №9, с. 20.
- 12. Стучебников В. М., Суханов В. И., Хасиков В. В. Тензорезисторные чувствительные элементы на основе структур «кремний на сапфире» в преобразователях давления для высоких температур. Приборы и системы управления, 1981, № 3, с. 23.
- 13. Tivy V. V., Friedline L. E., Bergman C. E. Technology trends in industrial pressure sensors.—Autom. Control, 1978. vol. 8, N 5, p. 25.
 - 14. Пат. 4127840 (США). Solid state force transducer/ J. H. House. Опубл. 28.11.1978.
 - 15 Allan R. Transducers make use of SOS diaphragms. Electronics, 1979, vol.-52, N 24, p. 42.
- 16. Стучебников В. М. Электрофизические характеристики гетероэпитаксиальных пленок кремния на сапфире и шпинели. Обзоры по электронной технике. Сер. Материалы. М.: ЦНИИ «Электроника», 1980, № 2 (705).. 38 с.
- 17. Температурная зависимость подвижности носителей в сильнолегированных слоях кремния р- типа на сапфире/Белоглазов А. В., Бейден В. Е., Папков В. С., Стучебников В. М. Электронная техника. Сер Материалы. М.: ЦНИИ «Электроника», 1976, № 10, с. 44.
- 18. Hynecek J. Elastoresistance in n- type silicon on sapphire.-J. Appl. Phys., 1974, vol. 45, N 6, p. 2631. 19.0hmura Y. Calvanomagnetic effect for holes and the valence band in (001) silicon on sapphire. J. Phys Soc Japan, 1979, vol. 47, N 1, p. 145.
- 20. Гридчин В. А. Пьезосопротивление в структурах КНС n- типа. В кн.: Электронное и полупроводниковое приборостроение. Новосибирск, 1977, с. 136.
- 21. Тензорезистивный эффект в сильнолегированных слоях кремния р- типа на сапфире/ Белоглазов А. В., Бейден В. Е., Карнеев В. М. и др. Электронная техника. Сер. Материалы. М.: ЦНИИ «Электроника», 1977, № 5, с. 45.
- 22. Shear strain at corners and edges of epitaxial silicon on sapphire/Abrahams M. S. Blanc J., Buiocchi C. J., Ham W. E.-J. Appl. Phys., 1978, vol. 49, N 2, p. 652.
- 23. Wilner L. B. A diffused silicon pressure transducer with stress concentrated at transverse gages.—ISA Trans. 1978, vol. 17, N 1. p. 83.
- 24. Гридчин В. А. Оптимизация параметров интегральных тензопреобразователей. В кн.: Измерительные преобразователи механических и тепловых величин на базе микроэлектроники. М.,1980,с. 31.
 - 25. Capteurs de pressions piezoresistants: Препринт фирмы Schlumberger (Франция), 1976.24р.
- 26. Микроминиатюрный биомедицинский тензопреобразователь/ Алекса А. Г., Зимин В. Н. Корнеев В. Н. и др. Электронная техника. Сер. 11. М.: ЦНИИ «Электроника», 1978, №2 (6), с. 43.
- 27. Пайка сапфировых мембран с высокопрочными сплавами титана/Никифорова 3. В., Румянцев С. Г., Киселевский С. Л.. Евдокимов В. И. Сварочное производство. 1974,№3,с 35.
- 28. Пивоненков Б. И. Стучебников В. М. Проектирование полупроводниковых интегральных тензочувствительных структур. Приборы и системы управления, 1976, № 1, с, 20.
- 29. Полупроводниковые тензопреобразователи давления и силы на основе гетероэпитаксиальных структур «кремний на сапфире»/Белоглазов А. В., Стучебников В. М., Хасиков В. В. и др. Приборы и системы управления. 1982, № 5, с. 21—27.
- 30. Distribution of dopant in SiO₂—Si/Av-Ron M., Shatzkes M.: Burkhardt P. J., Cadoff I. J. Appl. Phys., 1976, vol. 47, N 7, p. 3159.
- 31. Полупроводниковые тензорезисторные измерительные преобразователи теплоэнергетических параметров, принципы построения и характеристики/Иордан Г. Г., Кенигсберг В, Л., Сердюков В. И. и др.-В

кн.: Приборостроение и автоматический контроль. М., 1978, № 1, с.184.

- 32. Fiche Technique 76008: Проспект фирмы Schlumberger (Франция), 1976, 4 р.
- 33. Иордан Г. Г. Полупроводниковые тензорезисторные преобразователи общепромышленного назначения. В кн.: Измерительные преобразователи механических и тепловых величин на базе микроэлектроники. М., 1980. с. 3.
- 34. Миниатюрный первичный преобразователь давления для исследования верхнего отдела желудочно-кишечного тракта/ Алекса А. Г., Горошко В. Н.. Зимин В. Н. и др. -Электронная промышленность, 1979, № 8—9. с. 41.
- 35 Bicking R. P-to-V transducer available in control market after automotive baptism. Contr. Eng., 1978, vol. 25. N 11, p. 51.